Ceftazidime (SN401) に関する細菌学的評価

西野武志·尾花芳樹·平田収正山村宜弘·大槻雅子·谷野輝雄 京都楽科大学微生物学教室

新しい cephem 系抗生物質 Ceftazidime (CAZ, SN401) に 関 する 細菌学的評価を、Cefotiam (CTM), Ceftizoxime (CZX), Cefmetazole (CMZ), Cefsulodin (CFS), Cefoperazone (CPZ) および Gentamicin (GM) を比較薬として検討を行ない、以下のような成績を得た。

CAZ は グラム 陽性菌および陰性菌に対して幅広い抗菌スペクトラムを示したが、グラム陽性菌に対する抗菌力は、CTM、CZX、CMZ よりも劣っていた。しかしグラム陰性菌に対しては、CZX の抗菌力より若干劣るが、CTM とほぼ同等か、あるいは優れており、CMZ よりは明らかに優れていた。また indole 陽性 Proteus spp., Serratia および P. aeruginosa に対しても強い抗菌力を有していた。

抗菌力に及ぼす諸因子の影響について検討したところ、 培地 pH, 馬血清添加、接種菌量の影響をほとんど受けないことが認められた。

抗菌作用型式について検討したところ、いずれの使用菌種に対しても、 顕著な殺菌作用が認められた。またペニシリン結合蛋白質 (PBPs) への親和性を検討したところ、 $E.\ coli$ では、PBP 3、1 Bs, 1A, $P.\ aeruginosa$ では PBP 1A, 1B, 3 の順に親和性が認められ、薬物作用時の形態変化の結果とよく一致していた。

マウス実験的腹腔内感染症に対する治療効果では、S. aureus の場合、CAZ の治療効果は CTM、CZX、CMZ より劣っていた。一方、グラム陰性の E. coli、Klebsiella、Serratia の場合、CTM、CMZ より明らかに優れており、CZX と同等もしくは若干劣っていた。また P. aeruginosa の場合、GM、CFS、CPZ より優れ、さらに GM 耐性株に対しても優れた効果を示した。

Ceftazidime (CAZ, SN401) は、英国グラクソ社において開発された新しい注射用 aminothiazolyl cephalosporin である。化学名は (6R,7R)-7-[(Z)-2-(2-aminothiazol-4-yl)-2-(2-carboxyprop-2-yloxyimino)acetamido]-3-(pyridinium-1-ylmethyl)ceph-3-em-4-carboxylate pentahydrate で、分子式 $C_{22}H_{22}N_6O_7S_2\cdot 5H_2O$,分子量 636.6 の白色粉末であり、構造式を Fig.1 に示した。本物質はグラム陽性菌、陰性菌に対して幅広い抗菌スペクトラムを有し、グラム陽性菌に対する抗菌力よりも陰性菌に対する抗菌力の方が優れていると報告されており、 β -lactamase 産生菌に対しても有効である。またindole 陽性 Proteus spp., Serratia, P. aeruginosaに対しても強い抗菌力を示すといわれている $1^{-(11)}$ 。

Fig. 1 Structural formula of CAZ

今回われわれは、Cefotiam (CTM)、Ceftizoxime (CZX)、Cefmetazole (CMZ)、Cefsulodin (CFS)、Cefoperazone (CPZ) および Gentamicin (GM) を比較薬として、CAZ に関する細菌学的評価について検討を行なったので報告する。

I. 実験材料および実験方法

1. 使用菌株

教室保存のグラム陽性菌 20 株, グラム陰性菌 32 株 および臨床由来の S. aureus 44 株, S. pyogenes 18 株, E. coli 43 株, K. pneumoniae 39 株, E. aerogenes 22 株, E. cloacae 20 株, P. mirabilis 28 株, P. morganii 39 株, P. vulgaris 32 株, S. marcescens 44 株, H. influenzae 17 株, A. calcoaceticus 46 株, P. aeruginosa 75 株を使用した。

2. 使用薬物

Ceftazidime, Cefotiam, Ceftizoxime, Cefmetazole, Cefsulodin, Cefoperazone, Sulbenicillin (SBPC) および Gentamicin のいずれも力価の明らかな標準品を使用した。

3. 感受性測定法

前培養に感受性ブイヨン培地(栄研)、測定用に感受性ディスク用培地(栄研)を用い、日本化学療法学会感受性測定法¹³⁾に準じて行なった。なお、Streptococcus属は、10% 馬脱繊維血液を、H. influenzae は 3% Bacto-Fildes enrichment (Difco) を含んだ感受性ディスク用培地を用いた。また Clostridium 属は Thioglycollate培地 (ニッスイ)、Neisseria 属は 1% supplement を含んだ Gonococcus 培地 (栄研)を用いて行なった。

4. 抗菌力に及ぼす諸因子の影響

抗菌力に及ぼす培地 pH, 馬血清添加, 接種菌量の影響について, S. aureus 209 P-JC, E. coli KC-14, K. pneumoniae KC-1, S. marcescens T-55 および P. aeruginosa E-2 を被験菌として, 感受性ディスク用培地を用いた寒天平板希釈法により検討を行なった。

5. 抗菌作用型式

トリプトソーヤ・ブイヨン(ニッスイ)で前培養した $E.\ coli\ KC-14$, $K.\ pneumoniae\ KC-1$, $S.\ marcescens$ T-55 および $P.\ aeruginosa\ E-2$ をハートインヒュージョン・ブイヨン(ニッスイ)に移し、対数期中期まで振とう培養する。この菌液を同培地で希釈し、約 $10^6\ cells/ml$ に調製後、所定の濃度になるように薬物を添加し、

以後経時的に生菌数を測定した。

6. 形態変化の観察およびペニシリン結合蛋白質に対 する親和性の検討

形態変化の観察は、スライドガラス上で楽物を含有させたフィルム寒天を作製し、対数期の関液を塗抹後、カバーガラスを載せ、バラフィンで封じた。これをニコン倒立位相差顕微鏡で観察した。またペニシリン結合蛋白質 (PBPs) に対する親和性の検討は、SPRATT¹³⁾ の方法による ¹⁴C-penicillin G との競合によって行なった。

7. スフェロプラスト形成能の検討

Stabilizer として 10% sucrose と 0.2% MgCl₂ を 含んだハートインヒュージョン・ブイヨンを用い、対数 期の 菌液に薬物を作用させ、経時的にサンブリングを行ない、stabilizer を含んだ培地(stabilized)と含まない 培地(shocked)で希釈を行ない、stabilizer を含んだ 寒天培地を用いて生菌数を測定した。

8. マウス実験的腹腔内感染症に対する効果

実験的腹腔内感染症は、S. aureus Smith (diffuse 型). E. coli KC-14, K. pneumoniae KC-1, S. marcescens T-55, P. aeruginosa E-2, P. aeruginosa TP-5 (SBPC 耐性: PCase I型) および P. aeruginosa K-31 (GM

Table 1 Antibacterial spectrum of CAZ, CTM, CZX, and CMZ

Inoculum size: 10° cells/ml	Gram-posit	MIC: μg/ml		
Organism	CAZ	CTM	CZX	CMZ
Staphylococcus aureus 209-P JC	3.12	0.19	1.56	0.39
Staphylococcus aureus Smith	6.25	0.39	1.56	0.78
Staphylococcus aureus Neumann	6.25	0.39	1.56	0.78
Staphylococcus aureus Terashima	12.5	0.39	0.78	0.78
Staphylococcus aureus E-46	6.25	0.39	0.78	0.78
Staphylococcus aureus No. 80 (PC-R)	3.12	0.39	0.39	0.78
Staphylococcus epidermidis	12.5	0.78	25	1.56
Streptococcus pyogenes S-23	0.1	≦0.05	≤ 0.05	0.19
Streptococcus pyogenes Cook	0.1	0.1	≤ 0.05	0.39
Streptococcus faecalis	>100	>100	>100	50
Streptococcus viridans	>100	>100	>100	50
Streptococcus pneumoniae I	0.19	0.19	≤0.05	0.78
Streptococcus pneumoniae. [[0.19	0.19	≤0.05	0.78
Streptococcus pneumoniae III	≤0.05	≦0.05	≤0.05	0.39
Corynebacterium diphtheriae	25	3.12	6.25	1.56
Micrococcus luteus ATCC 9341	0.39	0.39	0.39	0.39
Bacillus subtilis ATCC 6633	0.78	0.1	0.05	0.19
Bacillus anthracis	50	0.78	12.5	1.56
Clostridium tetani	12.5	12.5	3.12	6.25
Clostridium perfringens	12.5	12.5	6.25	1.56

耐性)を用いて作製した。いずれの菌株も、普通ブイヨン (ニッスイ)で 37°C, 18 時間培養後、同培地で希釈し、6% gastric mucin (Orthana Kemisk Fabrik A/S)と等量混合した。この菌液を1群10匹の Std-ddY 系雄性マウス (体重17~18g)の腹腔内に接種し、感染2時間後に1回、薬物を皮下投与した。その後7日間生死の観察を行ない、LITCHFIELD-WILCOXON 法により、ED50値を算出した。

II. 実 験 結 果

1. 抗菌スペクトラム

教室保存のグラム陽性菌群および陰性菌群に対する感受性について検討した結果を Table $1\sim4$ に示した。グラム陽性菌群に対しては, Table 1, 2 に示すように, 10^6 および 10^6 cells/ml 接種においても,CAZ の抗菌力は,CTM,CZX,CMZ よりも $2\sim16$ 倍劣っていた。またグラム陰性菌に対しては,Table 3, 4 に示すように,CZX よりは若干劣っていたが,CTM とほぼ同等であり,CMZ よりは優れていた。その抗菌力(MIC)を接種菌量が 10^6 cells/ml の場合について比較すると,S. aureus では,CAZ は, $1.56\sim6.25\mu g/ml$,CTM は $0.1\sim0.39\mu g/ml$,CZX では $0.19\sim0.78\mu g/ml$,CMZ

では $0.19\sim0.78\mu g/ml$ であり、Streptococcus 辞では、CAZ は $\leq0.05\sim>100\mu g/ml$ 、CTM は $\leq0.05\sim>100\mu g/ml$ 、CMZ は $0.1\sim50\mu g/ml$ 、CMZ は $0.1\sim50\mu g/ml$ であった。

一方,グラム陰性菌の E.coli に対しては,CAZ および CTM では $0.1\sim0.19\mu g/ml$,CZX では, $0.05\mu g/ml$,CMZ では $0.39\sim1.56\mu g/ml$ であり,Proteus spp. に対しては,CAZ は $\leq 0.025\sim0.19\mu g/ml$ の感受性を示し,CZX とほぼ同等か,あるいは若干優れた 成績であり,P.aeruginosa では, $0.39\sim3.12\mu g/ml$ であり,最も優れていた。また Citrobacter,Enterobacter spp.,Hafnia などの腸内細菌群に対して,CAZ は $0.19\sim0.39\mu g/ml$ という感受性を示し,P.cepacia,P.maltophilia,A.calcoaceticus などのブドウ糖非発酵菌に対しても良好な感受性を示した。

2. 臨床分離株に対する感受性分布

臨床由来の S. aureus 44 株, S. pyogenes 18 株, E. coli 43 株, K. pneumoniae 39 株, E. aerogenes 22 株, E. cloacae 20 株, P. mirabilis 28 株, P. morganii 39 株, P. vulgaris 32 株, S. marcescens 44 株, H. influenzae 17 株, A. calcoaceticus 46 株 お よ び P.

Table 2 Antibacterial spectrum of CAZ, CTM, CZX, and CMZ : 10° cells/ml Gram-positive bacteria

Inoculum size: 10° cells/ml	Gram-posit	Gram-positive bacteria				
Organism	CAZ	СТМ	CZX	CMZ		
Staphylococcus aureus 209-P JC	1.56	0.1	0.39	0.19		
Staphylococcus aureus Smith	3.12	0.19	0.78	0.19		
Staphylococcus aureus Neumann	1.56	0.19	0.39	0.78		
Staphylococcus aureus Terashima	6.25	0.39	0.78	0.39		
Staphylococcus aureus E-46	3.12	0.19	0.39	0.39		
Staphylococcus aureus No. 80 (PC-R)	3.12	0.39	0.19	0.39		
Staphylococcus epidermidis	12.5	0.19	12.5	0.78		
Streptococcus pyogenes S-23	0.1	≦0.05	≤ 0.05	0.39		
Streptococcus pyogenes Cook	≦0.05	≤ 0.05	≦0.05	0.1		
Streptococcus faecalis	>100	>100	>100	25		
Streptococcus viridans	>100	>100	>100	50		
Streptococcus pneumoniae I	0.19	0.19	≤0.05	0.39		
Streptococcus pneumoniae [0.19	0.1	≤0.05	0.39		
Streptococcus pneumoniae	≦0.05	≦0.05	≦0.05	0.19		
Corynebacterium diphtheriae	12.5	0.78	1.56	0.78		
Micrococcus luteus ATCC 9341	0.39	0.19	0.1	0.39		
Bacillus subtilis ATCC 6633	0.19	0.05	0.05	0.1		
Bacillus anthracis	12.5	0.39	6.25	0.39		
Clostridium tetani	6.25	3.12	1.56	1.56		
Clostridium perfringens	6.25	6.25	3.12	0.78		

Table 3 Antibacterial spectrum of CAZ, CTM, CZX, and CMZ

Inoculum size: 108 cells/ml Gram-negative bacteria MIC: //g/ml CAZ CTMCZX CMZ Organism Neisseria gonorrhocac ≤0.025 ≤0.025 ≤0.025 0.78 Neisseria meningitidis 0.05 0.05 ≤0.025 0.39 Escherichia coli NIHJ JC-2 0.390.19 0.1 1.56 Escherichia coli NIH 1.56 0.19 0.1 0.1 Escherichia coli K-12 0.19 0.1 0.78 0.1 Citrobacter freundii NIH 10018-68 12.5 50 12.5 50 Salmonella typhi T-287 0.19 0.05 ≤0.025 0.39 Salmonella typhi O-901 0.1 0.1 ≤0.025 0.39 Salmonella paratyphi A 0.1 0.1 ≤0.025 0.19 Salmonella paratyphi B 0.05 0.05 ≤0.025 0.39 Salmonella enteritidis 0.19 0,39 ≤0.025 0.39 Shigella dysenteriae EW-7 0.19 0.1 0.05 1.56 Shigella flexneri 2a EW-10 0.19 0.1 0.05 1.56 Shigella boydii EW-28 0.05 0.1 0.1 0.78 Shigella sonnei EW-33 0.39 0.19 0.05 1.56 Klebsiella pneumoniae NCTC 9632 0.1 0.39 ≤0.025 1.56 Enterobacter cloacae NCTC 9394 0.78 >100 0.78 >100 >100 Enterobacter aerogenes NCTC 10006 0.78 0.78 >100 Hafnia alvei NCTC 9540 0.78 >100 0.1 3.12 Serratia, marcescens IFO 3736 0.39 >100 0.1 >100 Proteus mirabilis 1287 0.1 0.78 0.19 3.12 Proteus vulgaris OX-19 0.05 50 ≤0.025 1.56 Proteus morganii Kono >100 12.5 6.25 12.5 Proteus retigeri NIH 96 25 0.19 ≤ 0.025 3.12 Proteus inconstans NIH 118 1.56 >100 1.56 >100 Pseudomonas aeruginosa NCTC 10490 0.78 >100 1.56 >100 Pseudomonas aeruginosa IAM 1095 6.25 100 12.5 100 Pseudomonas acruginosa No. 12 3.12 >100 100 >100 Pseudomonas aeruginosa Nc-5 0.39 0.39 >100 >100 Pseudomonas cepacia ATCC 25416 12.5 >100 6.25 100 Pseudomonas maltophilia ATCC 13637 0.78 0.19 >100 0.39 Acinetobacter calcoaceticus Ac-54 12.5 100 12.5 >100

Table 4 Antibacterial spectrum of CAZ, CTM, CZX, and CMZ

Inoculum size: 10° cells/ml	Gram-negat	MIC: μg/ml		
Organism	CAZ	СТМ	CZX	CMZ
Neisseria gonorrhoeae	≤0.025	≤0.025	≤0.025	0.78
Neisseria meningitidis	≤0.025	≤0.025	≤0.025	0.39
Escherichia coli NIHJ JC-2	0.19	0.19	0.05	1.56
Escherichia coli NIH	0.1	0.1	0.05	0.39
Escherichia coli K-12	0.1	0.1	0.05	0.78
Citrobacter freundii N1H 10018-68	0.19	0.39	0.19	25
Salmonella typhi T-287	0.1	0.05	≤0.025	0.19
Salmonella typhi O-901	0.1	0.05	≤0.025	0.19
Salmonella paratyphi A	0.05	0.05	≤0.025	0.19
Salmonella paratyphi B	0.05	0.05	≤0.025	0.19
Salmonella enteritidis	0.05	0.1	≤0.025	0.39
Shigella dysenteriae EW-7	0.19	0.1	≦0.025	0.78
Shigella flexneri 2a EW-10	0.19	0.1	≤0.025	0.78
Shigella boydii EW-28	0.05	0.05	≤0.025	0.39 €8
Shigella sonnci EW-33	0.05	0.1	≤0.025	0.39
Klebsiella pneumoniae NCTC 9632	0.1	0.39	≨0.025	1.56
Enterobacter cloacae NCTC 9394	0.39	0.78	0.19	>100 103
Enterobacter aerogenes NCTC 10006	0.39	1.56	0.19	>100
Hafnia alvei NCTC 9540	0.39	0.39	≤ 0.025	1.56
Serratia marcescens IFO 3736	0.1	1.56	0.05	3.12
Proteus mirabilis 1287	≤0.025	0.19	0.05	0.78
Proteus vulgaris OX-19	≤0.025	0.39	≦0.025	1.56
Proteus morganii Kono	0.1	0.78	0.78	6.25
Proteus rettgeri NIH 96	≤0.025	≦0.025	≦0.025	0.19
Proteus inconstans NIH 118	0.19	0.19	≤0.025	0.78
Pseudomonas aeruginosa NCTC 10490	0.39	100	0.19	>100
Pseudomonas aeruginosa IAM 1095	3.12	100	6.25	>100
Pseudomonas acruginosa No. 12	1.56	100	25	>100
Pseudomonas aeruginosa Nc-5	0.39	100	0.39	>100
Pseudomonas cepacia ATCC 25416	3.12	100	6.25	50
Pseudomonas maltophilia ATCC 13637	≤0.025	100	0.39	0.19
Acinetobacter calcoaceticus Ac-54	3.12	50	3.12	100

aeruginosa 75 株に対する感受性分布および累積分布を Fig. 2~30 に示した。

(1) S. aureus の場合

Fig. 2, 3 に示すように、接種菌量が 10^8 および 10^8 cells/ml のいずれの場合も、CAZ の感受性ピークは、 $6.25\mu g/ml$, CTM では $0.39\mu g/ml$, CZX では $1.56\mu g/ml$, CMZ では $0.78\mu g/ml$ であり、CAZ の抗菌力は他薬物に比べ $4\sim32$ 倍劣っていた。

(2) S. pyogenès の場合

Fig. 4 に接種菌量 10^6 cells/ml の 場合の結果を示した。CAZ の感受性ピークは、 $0.1\mu g/ml$ であり、 $0.05\sim0.19\mu g/ml$ に分布していた。CTM の ピークは、 $0.05\mu g/ml$, CZX では $0.012\mu g/ml$, CMZ では $0.39\mu g/ml$ であり、CAZ の抗菌力は、CZX に比べ8倍、CTM には 2 倍劣っていたが、CMZ よりは 4 倍優れていた。

(3) E. coli の場合

接種菌量が 10^8 cells/ml の 場合, Fig. 5 に示すように、CAZ の感受性ピークは $0.19\mu g/ml$ であり、CTMでは $0.39\mu g/ml$, CZX では $0.1\mu g/ml$, CMZ では $1.56\mu g/ml$ で、CAZ の抗菌力は CZX より 2 倍程度劣っていたが、CTM、CMZ よりは優れていた。また 10^8 cells/ml の場合、Fig. 6 に示すように、CAZ の感受性ピークは $0.19\mu g/ml$ であり、 $0.1\sim12.5\mu g/ml$ に分布

Fig. 2 Sensitivity distribution of clinical isolates S. aureus 44 strains (108 cells/ml)

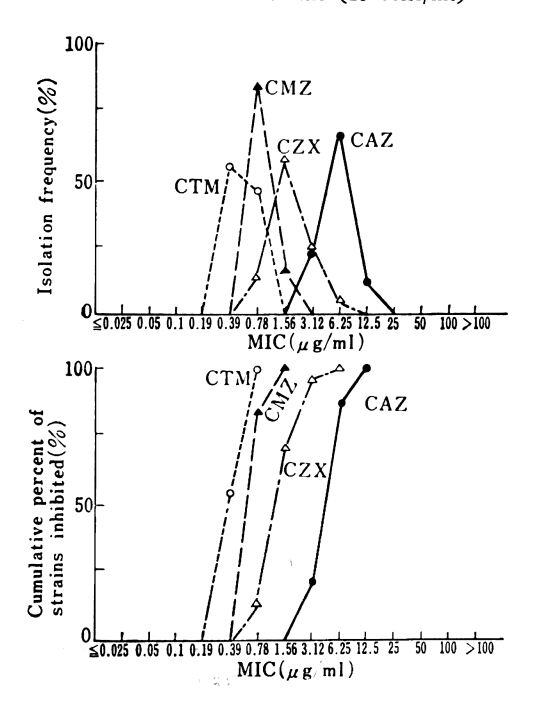


Fig. 3 Sensitivity distribution of clinical isolates S. aureus 44 strains (10° cells/ml)

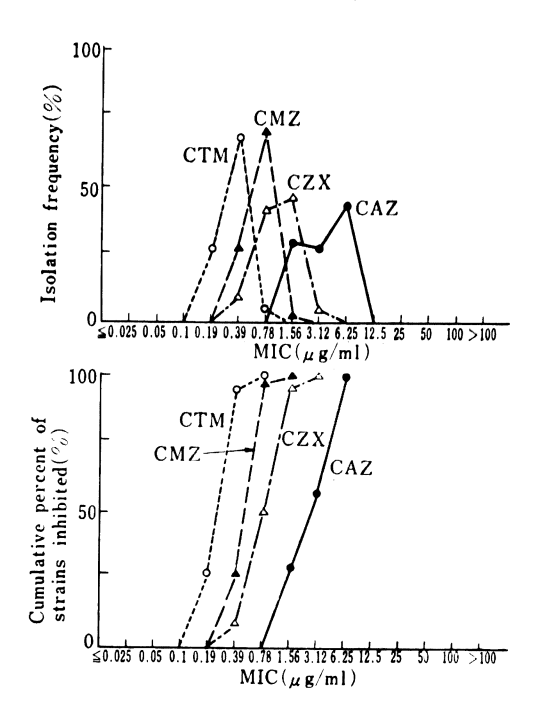
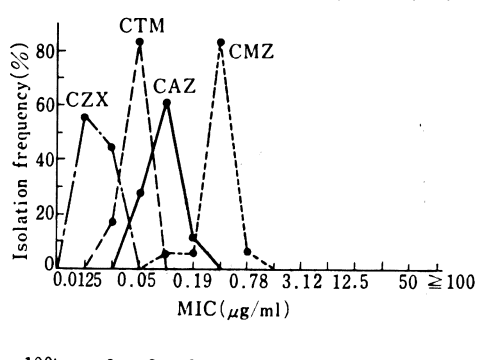
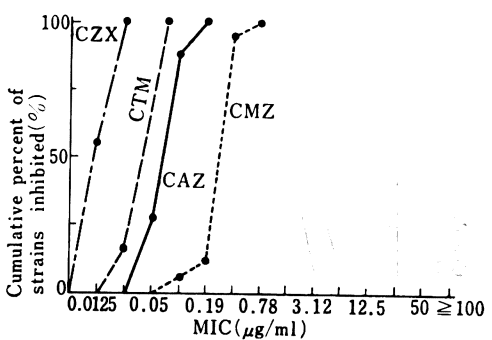


Fig. 4 Sensitivity distribution of clinical isolates S. pyogenes 18 strains (10*cells/ml)





していた。また CTM の感受性ピークは $0.19\mu g/ml$, CZX は $0.1\mu g/ml$, CMZ は $0.78\mu g/ml$ であり、CAZ は CZX より 2 倍劣るが、CTM と同等であり、CMZ より 8 倍優れていた。

(4) K. pneumoniae の場合

 10^8 cells/ml の場合, Fig.7 に示よすうに CAZ の感受性ピークは $0.78\mu g/ml$, CTM では $0.39\mu g/ml$, CZX では $0.05\mu g/ml$, CMZ では $1.56\mu g/ml$ であり, CAZ は CZX よりかなり劣るが, CTM とほぼ同等であり, CMZ より若干優れた抗菌力を示した。 10^6 cells/ml の場合, Fig.8 に示すように CAZ の感受性ピークは $0.39\mu g/ml$ であり, $0.05\sim 100\mu g/ml$ に幅広く分布した。 CTM のピークは $0.19\mu g/ml$, CZX では $\leq 0.025\mu g/ml$ であったが, 幅広い分布を示した。また CMZ のピークは $0.39\sim 0.78\mu g/ml$ であり, 10^6 cells/ml の結果とほぼ同様な傾向であった。

(5) E. aerogenes の場合

 10^6 cells/ml の場合, Fig. 9 に示すように, CAZ のピークは $0.39\mu g/ml$, CTM および CMZ では $>100\mu g/ml$, CZX では 6.25 および $>100\mu g/ml$ の 2 峰性であり, CAZ が最も優れており, CAZ では $>100\mu g/ml$ の 耐性株は存在していなかった。また 10^6 cells/ml の場合, Fig. 10 に示すように CAZ では $0.19\mu g/ml$, CTM で

Fig. 5 Sensitivity distribution of clinical isolates E. coli 43 strains (108 cells/ml)

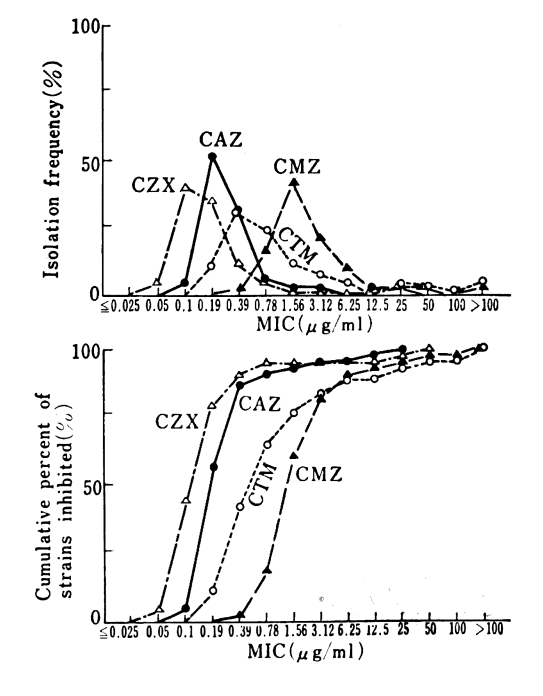


Fig. 6 Sensitivity distribution of clinical isolates E. coli 43 strains (106 cells/ml)

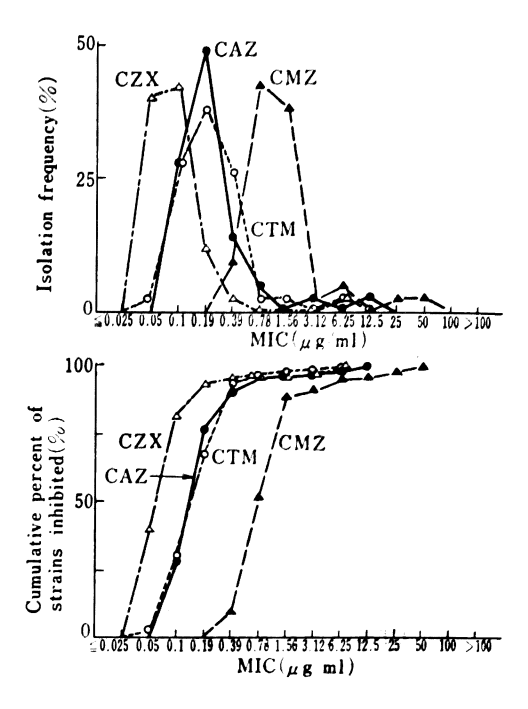
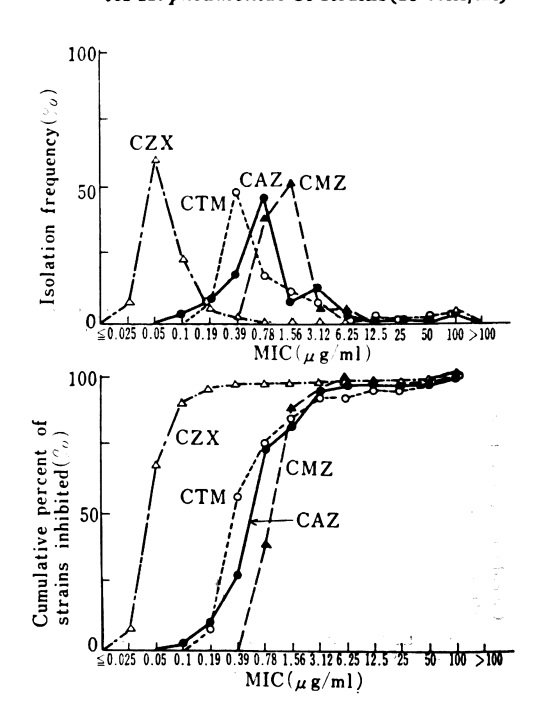


Fig. 7 Sensitivity distribution of clinical isolates K. pneumoniae 39 strains (10⁸ cells/ml)



は $0.78\mu g/ml$, CZX では $0.05\mu g/ml$, CMZ では $>100\mu g/ml$ に感受性ピークを有し、いずれの薬物も、幅広い分布を示した。接種菌量の低下により、CZX の感性化が、より顕著に認められたため、CAZ の 抗菌力はCZX に比べ 4 倍程度劣るが、CTM、CMZ よりは優れていた。

(6) E. cloacae の場合

 10^6 cells/ml の場合, Fig. 11 に示すように CAZ の感受性ピークは $0.39\mu g/ml$, CTM および CMZ は $>100\mu g/ml$, CZX は 0.39 および $3.12\mu g/ml$ の 2 峰性であり, CAZ が最も優れていた。また 10^6 cells/ml の場合, Fig. 12 に示すように, CAZ の感受性ピークは, $0.19\mu g/ml$ であり, $0.05\sim3.12\mu g/ml$ に分布していた。 CTM は $0.19\sim50\mu g/ml$, CZX は $0.05\sim3.12\mu g/ml$, CMZ は $1.56\sim>100\mu g/ml$ に分布しており, CZX の感性化により CAZ は CZX に比べ若干劣るが, CTM, CMZ よりは優れていた。

(7) P. mirabilis の場合

接種菌量 10^8 cells/ml の場合, Fig. 13 に示すように, CAZ の感受性ピークは $0.1\mu g/ml$, CTM は $0.78\mu g/ml$, CZX は $\leq 0.025\mu g/ml$, CMZ は $3.12\mu g/ml$ であり, 10^6 cells/ml の場合, Fig. 14 に示すように CAZ は $0.1\mu g/ml$, CTM は $0.19\mu g/ml$, CZX は ≤ 0.025

Fig. 8 Sensitivity distribution of clinical isolates K. pneumoniae 39 strains (106 cells/ml)

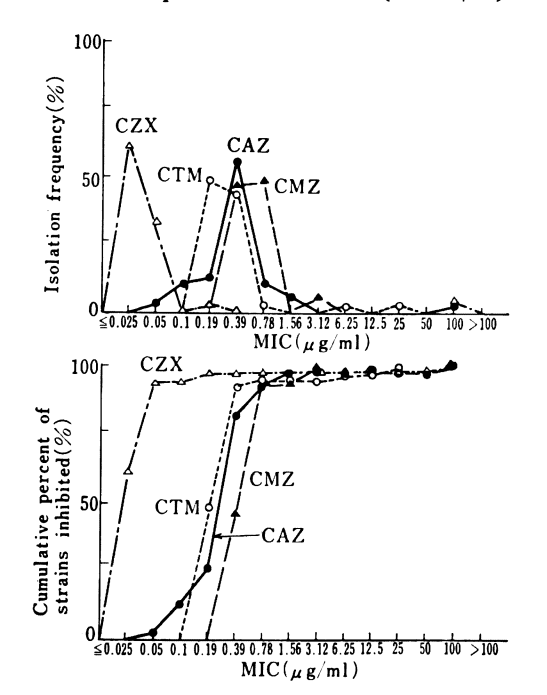


Fig. 9 Sensitivity distribution of clinical isolates E. aerogenes 22 strains (10*cells/ml)

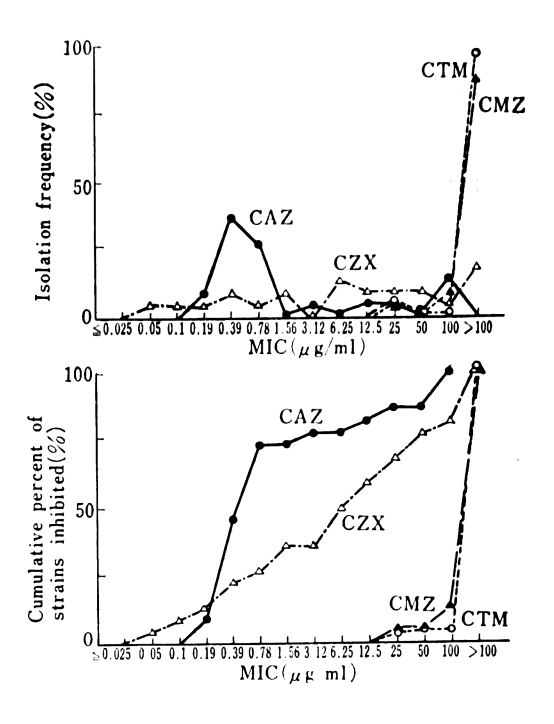


Fig. 10 Sensitivity distribution of clinical isolates E. aerogenes 22 strains (10⁶cells/ml)

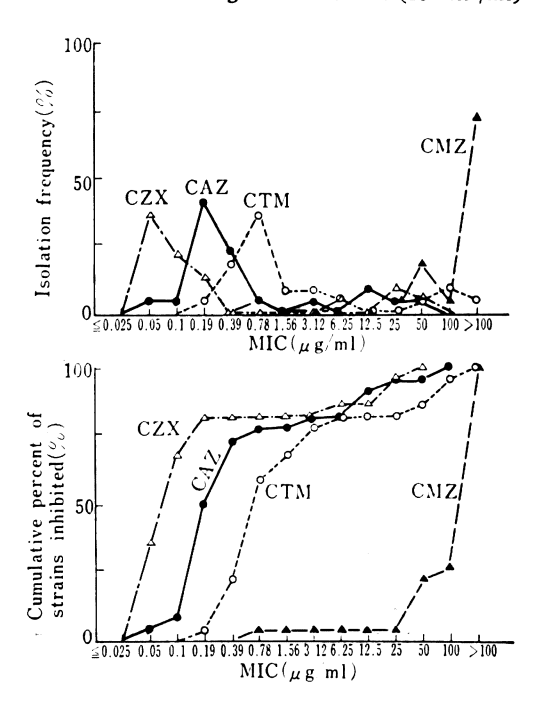


Fig. 11 Sensitivity distribution of clinical isolates E. cloacae 20 strains (108 cells/ml)

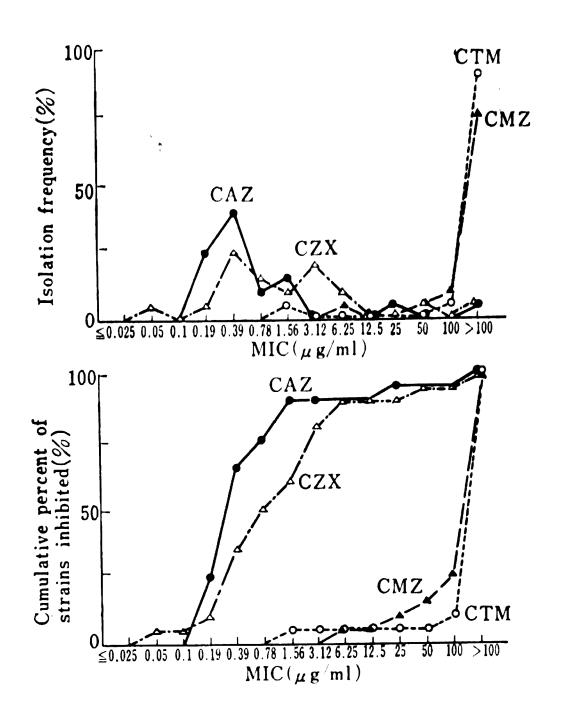


Fig. 12 Sensitivity distribution of clinical isolates *E. cloacae* 20 strains (10⁶ cells/ml)

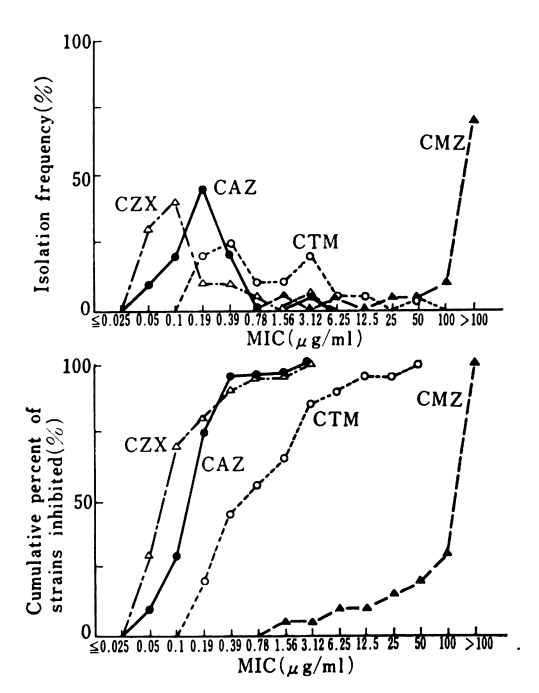


Fig. 13 Sensitivity distribution of clinical isolates P. mirabilis 28 strains (10⁸ cells/ml)

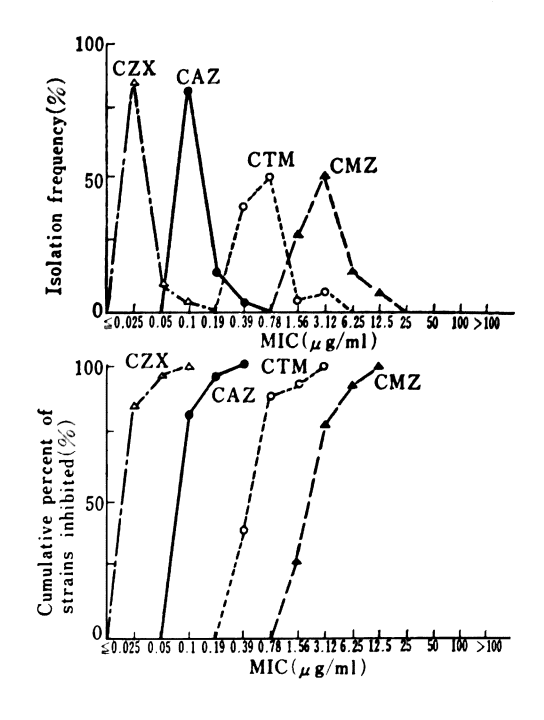
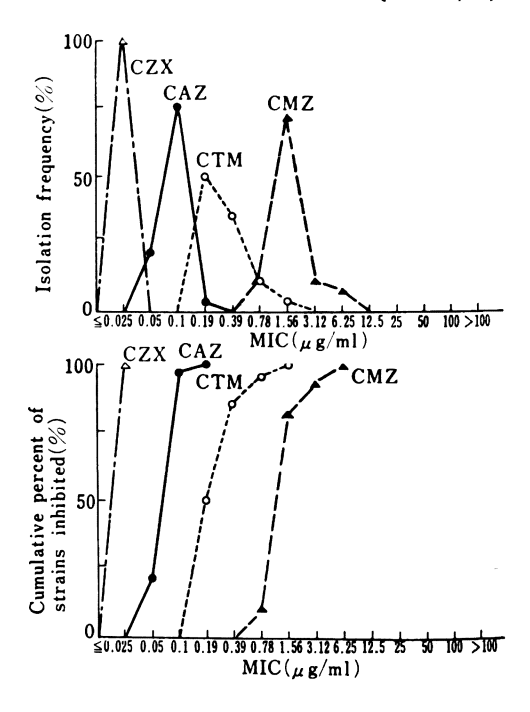


Fig. 14 Sensitivity distribution of clinical isolates P. mirabilis 28 strains (106 cells/ml)



 μ g/ml, CMZ は 1.56 μ g/ml であり、いずれの菌量の場合も、CAZ の抗菌力は CZX より 劣る が、CTM、CMZ より優れていた。

(8) P. morganii の場合

 10^6 cells/ml の場合、Fig. 15 に示すように CAZ は 0.1 および 3.12 μ g/ml に 2 峰性のピークを有し、CTM は >100 μ g/ml、CZX は 0.05、6.25 および 25 μ g/ml の 3 峰性のピーク、CMZ は 6.25 μ g/ml のピークであり、CAZ は CZX とほぼ同等であり CTM、CMZ よりは優れていた。また 10^6 cells/ml の場合、Fig. 16 に示すように CAZ は 0.05 および 0.78 μ g/ml に 2 峰性のピークを有し、 \leq 0.025 \sim 12.5 μ g/ml に幅広く分布していた。また CTM のピークは 0.19 μ g/ml、CZX は \leq 0.025 μ g/ml、CMZ は 3.12 μ g/ml はであり、これらの薬物も幅広い分布を示し、CAZ の抗菌力は CZX より劣るが、CTM、CMZ よりは優れていた。

(9) P. vulgaris の場合

 10^8cells/ml の場合, Fig. 17 に示すように, CAZ は $0.05\,\mu\text{g/ml}$, CTM は $1.56\,\mu\text{g/ml}$, CZX は $\leq 0.025\,\mu\text{g/ml}$, CMZ は 0.39 および $>100\,\mu\text{g/ml}$ に 0.39 および 0.39 にピークを有し、0.39 に 0.39 にピークを有し、0.39 にピークを有し、0.39 に 0.39 に 0.39 にピークを有し、0.39 に 0.39 に

Fig. 15 Sensitivity distribution of clinical isolates P. morganii 39 strains (108 cells/ml)

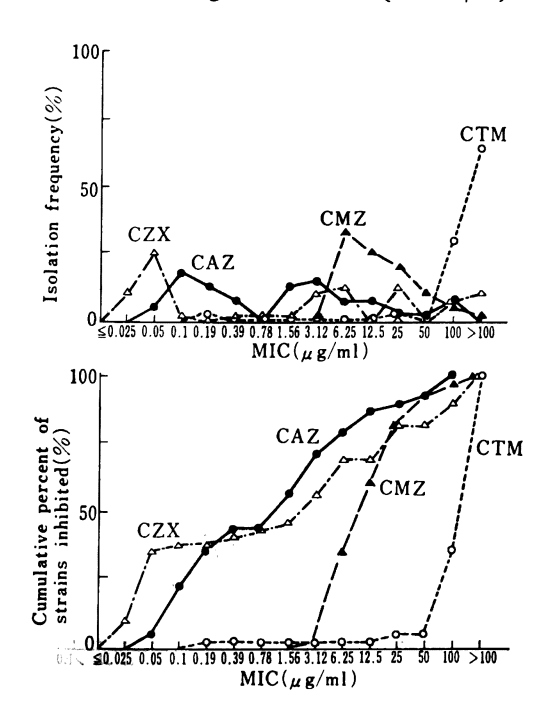


Fig. 16 Sensitivity distribution of clinical isolates *P. morganii* 39 strains (10⁶ cells/ml)

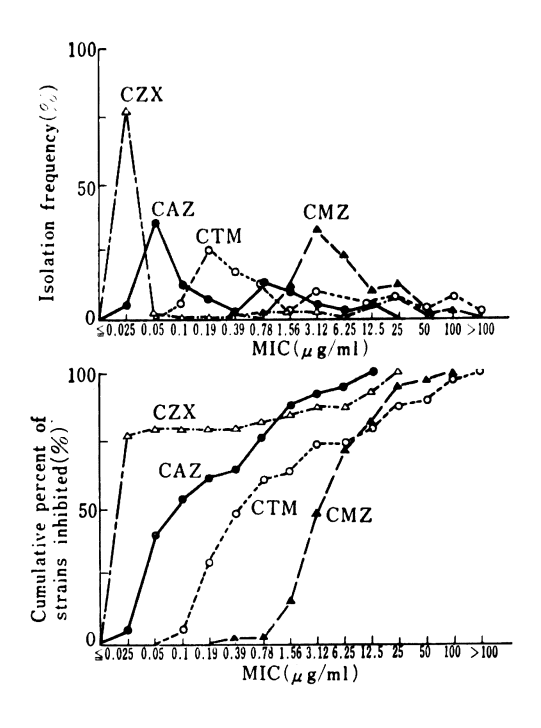
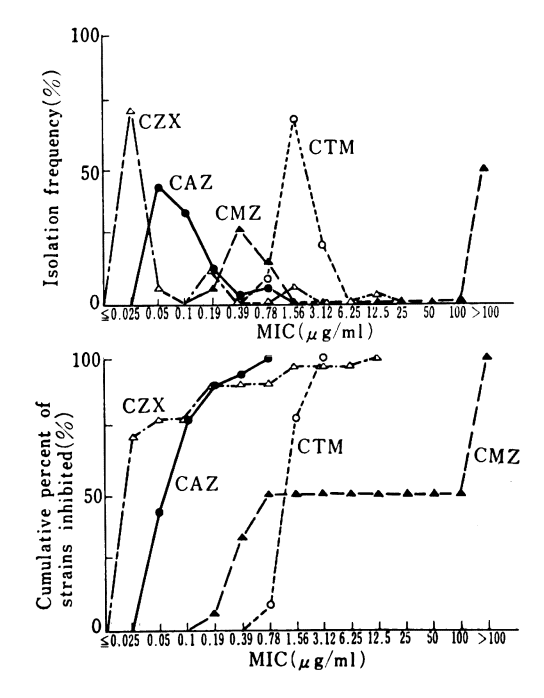


Fig. 17 Sensitivity distribution of clinical isolates *P.vulgaris* 32 strains (10⁸cells/ml)



 \sim 0. $19\mu g/ml$ に分布していた。また CTM のピークは 0. $78\sim$ 1. $56\mu g/ml$, CZX は \leq 0. $025\mu g/ml$ であり, CMZ は 0. 39 および $>100\mu g/ml$ に 2 峰性のピークを 有し、CAZ の抗菌力は CZX より劣るが、CTM、CMZ よりは優れていた。

(10) S. marcescens の場合

 10^6 cells/ml の場合、Fig. 19 に示すように CAZ の感受性ピークは $0.19\mu g/ml$, CTM は $>100\mu g/ml$, CZX は $0.19\mu g/ml$, CMZ は 6.25, 25 および $>100\mu g/ml$ であり、CAZ の抗菌力は CZX とほぼ同等であり、CTM、CMZ より優れていた。 また CAZ 耐性株は存在していなかった。 10^6 cells/ml の場合、 Fig. 20 に示すように CAZ のピークは $0.19\mu g/ml$ であり、 $0.05\sim1.56\mu g/ml$ に分布しており、CTM のピークは 1.56, 6.25, 50 および $>100\mu g/ml$ の 4 峰性、CZX は $0.05\mu g/ml$, CMZ は $6.25\mu g/ml$ であり、CAZ の抗菌力は CZX より劣っていたが、CTM、CMZ よりも優れていた。

(11) H. influenzae の場合

 10^8 cells/ml の場合, Fig. 21 に示すように, CAZ は $\leq 0.025 \sim 1.56 \mu g/ml$ に分布しており、3 峰性のピークを有していた。一方、CTM は $0.39 \sim 1.56 \mu g/ml$, CZX は $\leq 0.025 \sim 0.78 \mu g/ml$, CMZ は $0.78 \sim 6.25 \mu g/ml$ に分布しており、CAZ は CZX より劣るが、CTM、CMZ

Fig. 18 Sensitivity distribution of clinical isolates P.vulgaris 32 strains (106 cells/ml)

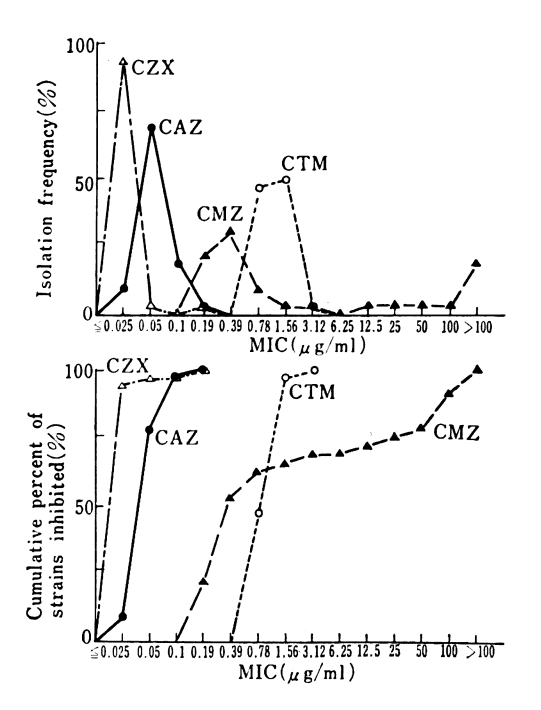


Fig. 19 Sensitivity distribution of clinical isolates S. marcescens 44 strains (10⁸ cells/ml)

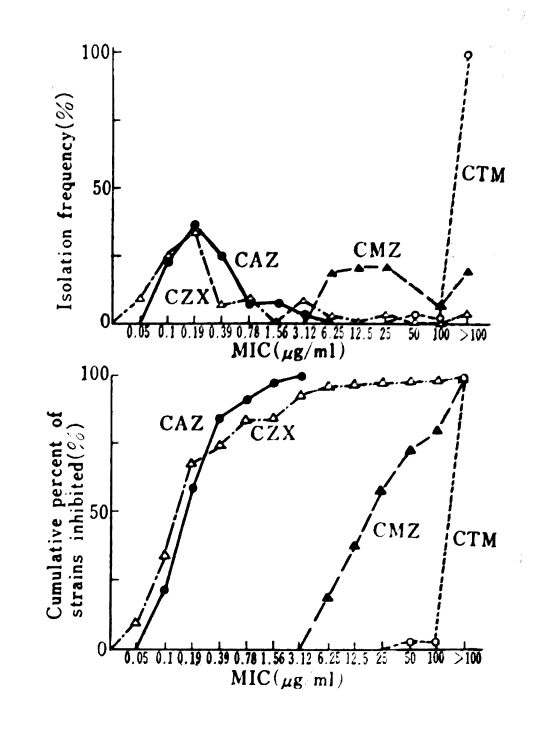
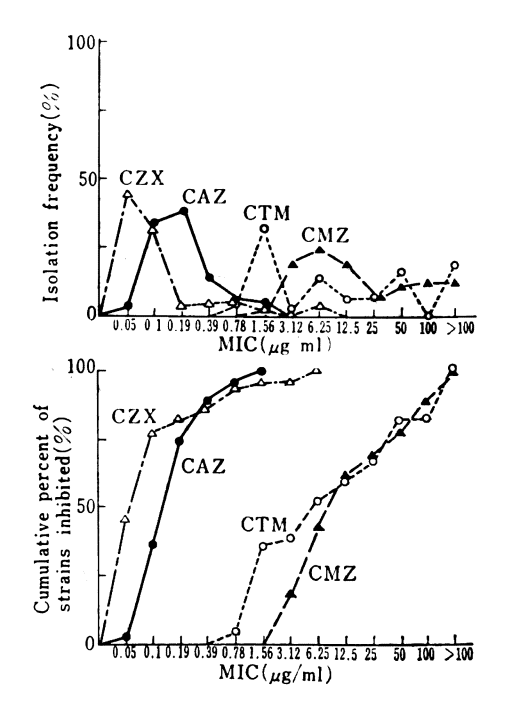


Fig. 20 Sensitivity distribution of clinical isolates S. marcescens 44 strains (10⁶ cells/ml)



より優れていた。 10^6 cells/ml の場合, Fig. 22 に示すように, CAZ は 2 倍程度抗菌力は上昇するが, 他の 3 薬物は 10^6 cells/ml の場合とほぼ同様な抗菌力であった。

(12) A. calcoaceticus の場合

 10^6 cells/ml の場合, Fig. 23 に示すように, CAZ はは $0.1\sim100\,\mu\mathrm{g/ml}$, CTM, CMZ は $0.19\sim>100\,\mu\mathrm{g/ml}$ ml, CZX は $1.56\sim>100\,\mu\mathrm{g/ml}$ に分布しており、 10^6 cells/ml の場合, Fig. 24 に示すように若干抗菌力は上昇するが、CAZ は CZX とほぼ同等であり、CTM、CMZ よりは優れていた。

(13) P. aeruginosa の場合

 10^{6} cells/ml の場合, Fig. 25 に示すように CAZ, CFS は $0.78 \sim 25 \mu g/ml$, GM は $0.39 \sim 12.5 \mu g/ml$, CPZ は $6.25 \sim > 100 \mu g/ml$ に分布しており、CAZ は GM より 若干劣るが、CFS より若干優れ、CPZ よりは 8 倍程度 優れていた。 10^{6} cells/ml の場合、Fig. 26 に示すよう にいずれの薬物も $2 \sim 4$ 倍抗菌力の上昇が 認められ、CAZ は GM とほぼ同等であり、CFS、CPZ より優れていた。また SBPC 耐性株に対する感受性の結果を Fig. 27、28 に示したが、CAZ の抗菌力は $12.5 \mu g/ml$ 以下に存在していた。 さらに GM 耐性株に対する結果を Fig. 29、30 に示したが、この場合も、 $25 \mu g/ml$ 以下に存在しており、これらの耐性株に対しても、CAZ は良

Fig. 21 Sensitivity distribution of clinical isolates *H. influenzae* 17 strains (10⁸ cells/ml)

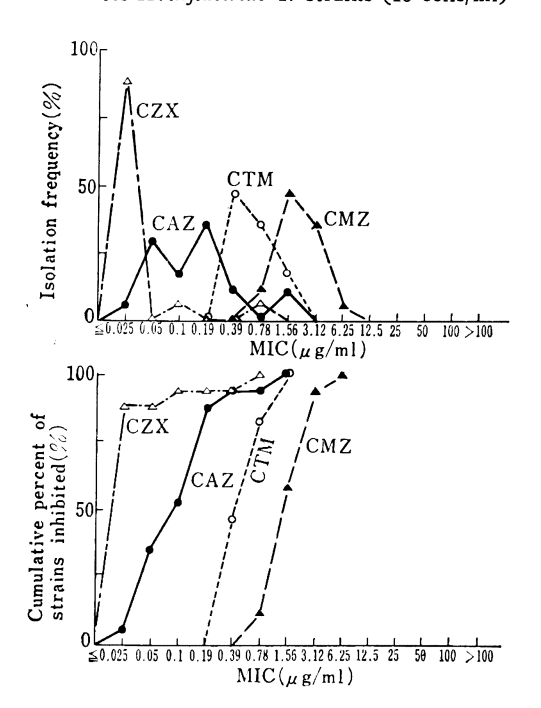


Fig. 22 Sensitivity distribution of clinical isolates H. influenzae 17 strains (10° cells/ml)

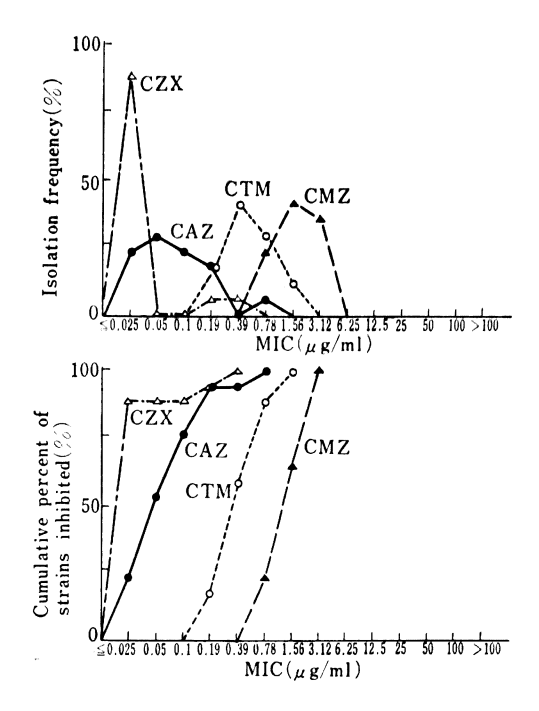


Fig. 23 Sensitivity distribution of clinical isolates
A. calcoaceticus 46 strains (108 cells/ml)

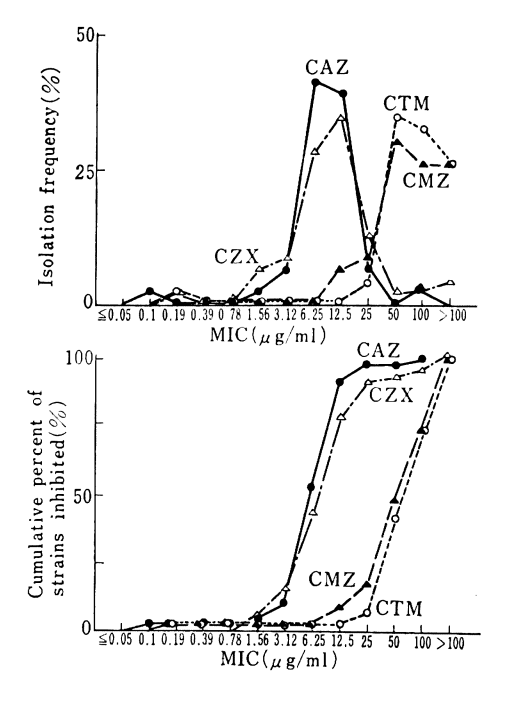


Fig. 24 Sensitivity distribution of clinical isolates

A. calcoaceticus 46 strains (106 cells/ml)

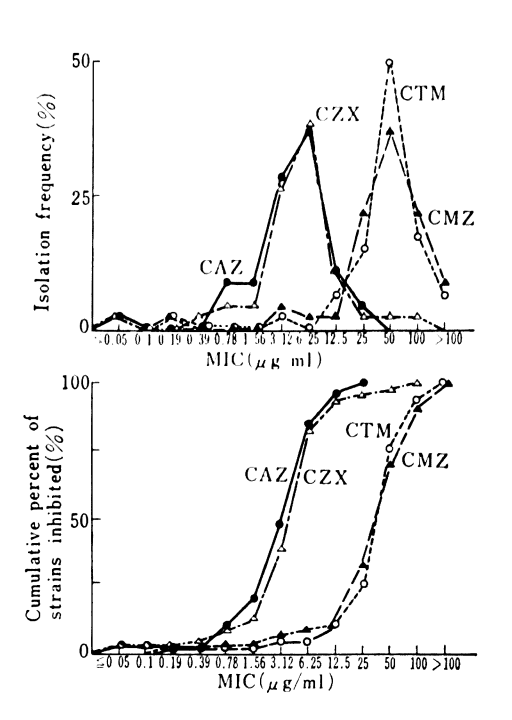


Fig. 25 Sensitive distribution of clinical isolates P. aeruginosa 44 strains (108 cells/ml)

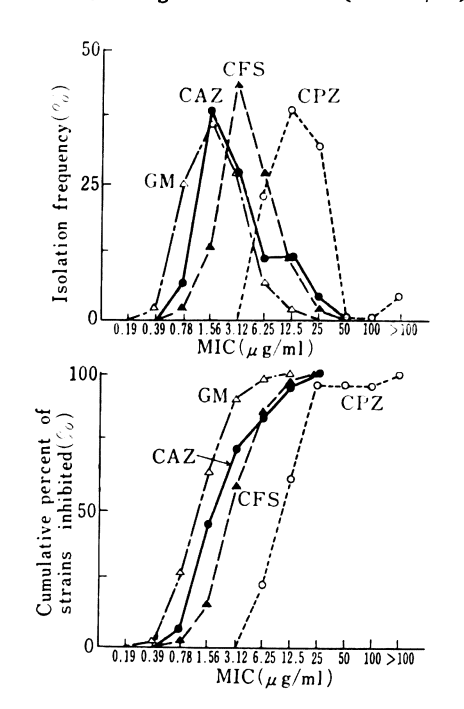


Fig. 26 Sensitivity distribution of clinical isolates P. aeruginosa 44 strains (10⁶ cells/ml)

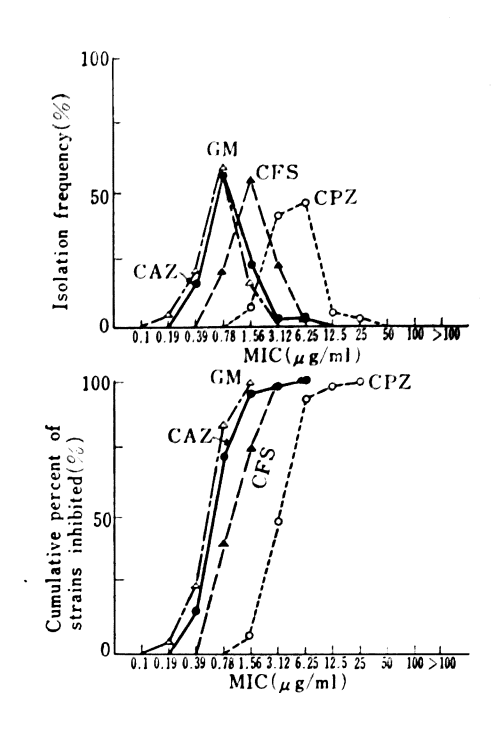
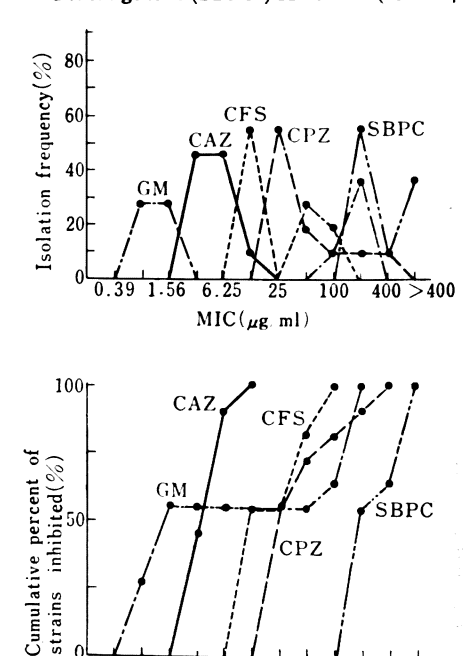


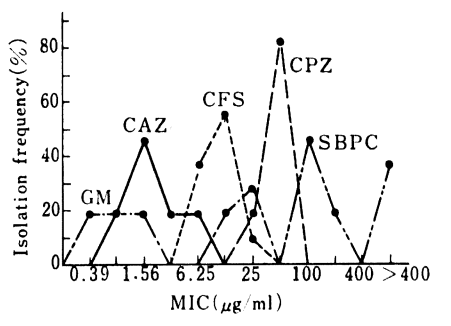
Fig. 27 Sensitivity distribution of clinical isolates P. aeruginosa (SBPC) 11 strains (10°cells/ml)



6.25 25 MIC(μg/ml)

400 > 400

Fig. 28 Sensitivity distribution of clinical isolates P.aeruginosa (SBPC*) 11 strains (106cells/ml)



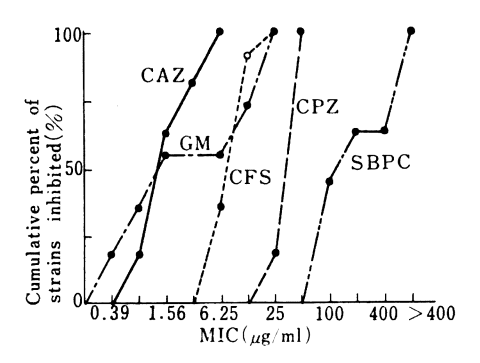
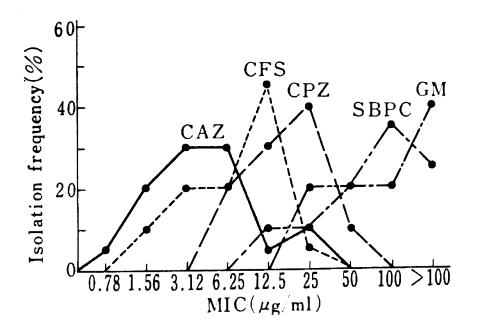
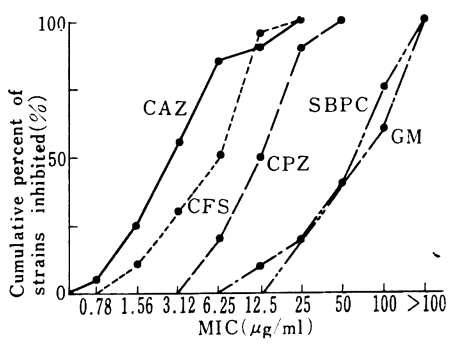


Fig. 29 Sensitivity distribution of clinical isolates P. aeruginosa (GM^r) 20 strains (10⁸cells/ml)

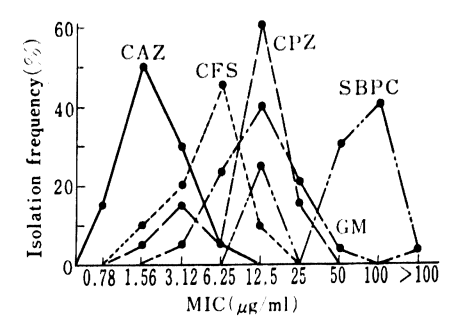


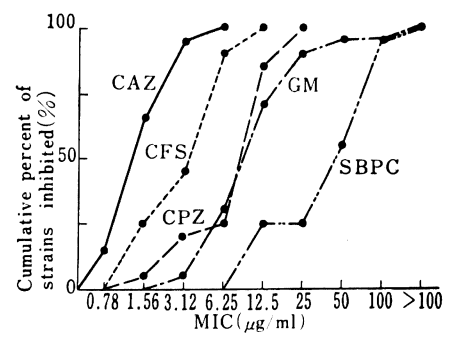


好な抗菌力を示した。

3. 抗菌力に及ぼす諸因子の影響

Fig. 30 Sensitivity distribution of clinical isolates P. aeruginosa (GM^r) 20 strains (10⁶cells/ml)





S. aureus 209P-JC, E. coli KC-14, K. pneumoniae KC-1, S. marcescens T-55 および P. aeruginosa E-2 を用いて, 抗菌力に及ぼす培地 pH, 馬血清添加, 接種菌量の影響について検討した結果を Table 5~7 に示した。培地 pH の影響では, いずれの薬物も, S. aureusでは酸性側で抗菌力が若干上昇し, E. coli, K. pneumoniae, P. aeruginosa ではアルカリ側で抗菌力が若干良くなったが, S. marcescens では, ほとんど変わらなかった。馬血清添加の影響では, いずれの薬物もほとんど抗菌力の変動を認めなかった。また 接種菌量の影響では, 他の薬物が若干菌量の影響を受けるの に 対して, CAZ はほとんど影響を受けなかった。

4. 抗菌作用型式

(1) E. coli KC-14 の場合

 $E.\ coli$ に対する抗菌作用型式を検討した結果を Fig. 31 に示した。いずれの薬物も, MIC (CAZ は $0.1\mu g/ml$, CTM は $0.05\mu g/ml$, CZX は $0.025\mu g/ml$, CMZ は $0.19\mu g/ml$) 作用 で は静菌的に作用するが,それ以上の濃度により殺菌的に作用することが認められた。

(2) K. pneumoniae KC-1 の場合

Fig. 32 に示すように CAZ は $0.05\mu g/ml$, CTM は $0.1\mu g/ml$, CZX は $0.0062\mu g/ml$, CMZ は $0.78\mu g/ml$ 以上の濃度により殺菌作用が認められた。

(3) S. marcescens T-55 の場合

Table 5 Influence of medium pH on the antibacterial activity of CAZ

Organism	рН	CAZ	СТМ	CZX	CMZ
	6.0	3.12*	0.39	1.56	0.39
S. aurcus 209-P JC	7.2	6.25	0.78	6.25	0.78
5. univend 200 1 00	8.3	6.25	0.78	6.25	0.78
	6.0	0.19	0.39	0.05	0.78
E. coli KC-14	7.2	0.10	0.05	≤0.025	0.39
E. Con NO 14	8.3	0.05	0.05	≤0.025	0.39
	6.0	0.05	0.39	≤0.025	0.78
K. pneumoniae KC-1	7.2	0.025	0.10	≦0.025	0.78
	8.3	0.025	0.10	≤0.025	0.39
The second of th	6.0	0.10	1.56	≤0.025	3.12
S. marcescens T-55	7.2	0.10	1.56	≦0.025	3.12
or marresocial 2 oo	8.3	0.10	3.12	0.05	3.12
	6.0	1.56	>100	>100	>100
P. aeruginosa E-2	7.2	1.56	>100	50	>100
1. der aginova 15 1	8.3	0.78	>100	25	>100

^{*} MIC: μg/ml

Table 6 Influence of horse serum on the antibacterial activity of CAZ

Organism	Serum conc. (%)	CAZ	CTM	czx	CMZ
	0	6.25*	0.78	6.25	0.78
S. aureus 209-PJC	10	12.5	0.78	6.25	0.78
	25	12.5	0.78	6.25	1.56
	0	0.10	0.05	≦0.025	0.39
E. coli KC-14	10	0.05	0.05	≦0.025	0.39
	25	0.05	0.05	≤0.025	0.39
	0	0.025	0.10	≦0.025	0.39
K. pneumoniae KC-1	10	0.025	0.10	≤0.025	0.39
	25	0.025	0.10	≦0.025	0.39
	0	0.10	1.56	≦0.025	3.12
S. marcescens T-55	10	0.10	1.56	0.05	3.12
	25	0.10	3.12	0.05	3.12
	0	1.56	>100	50	>100
P. aeruginosa E -2	10	1.56	>100	50	>100
	25	1.56	>100	50	>100

[&]quot; MIC : $\mu g/ml$

Table 7 Influence of inoculum size on the antibacterial activity of CAZ

Organism	Inoculum size (cells/ml)	CAZ	СТМ	CXX	CMZ
	4.3 \ 10 ⁸	12.5°	1.56	12.5	1.56
S. aureus 209-P JC	4.3 · 10'	6.25	0.78	6.25	0.78
S. aureus 209-PJC	4.3 · 106	6.25	0.78	6.25	0.78
	4.3 \ 105	6.25	0.19	6.25	0.39
	3.0 \ 10"	0.10	0.10	≤0.025	0.78
E. coli KC-14	3.0 · 10'	0.10	0.10	≤0.025	0.78
E. COLL RC-14	3.0 · 106	0.10	0.05	≦0.025	0.39
	3.0 · 10 ⁵	0.05	0.05	≤0.025	0.39
	1.2 · 10	0.05	0.19	≤0.025	0.78
K. pneumoniae KC-1	1.2 \ 10'	0.05	0.10	≤0.025	0.39
K. pneumontae KC-1	1.2 - 106	0.025	0.10	≤0.025	0.39
	1.2 × 10 ⁵	0.025	0.10	≤0.025	0.39
	6.0 × 10 ⁸	0.19	50	0.10	6.25
S. marcescens T-55	6.0×10 ⁷	0.19	12.5	0.05	6.25
S. marcescens 1-33	6.0 \ 106	0.10	1.56	≦0.025	3.12
	6.0 · 10 ^s	0.10	0.78	≦ 0.025	3.12
	4.0 · 10*	3.12	>100	>100	>100
P. aeruginosa E-2	4.0 · 107	1.56	>100	100	>100
r. aeruginosa E-2	4.0 · 106	1.56	>100	50	>100
	4.0 · 10 ^s	1.56	100	25	100

^{*} MIC: µg/ml

Fig. 31 Effect of CAZ, CTM, CZX and CMZ on the viability of E. coli KC-14

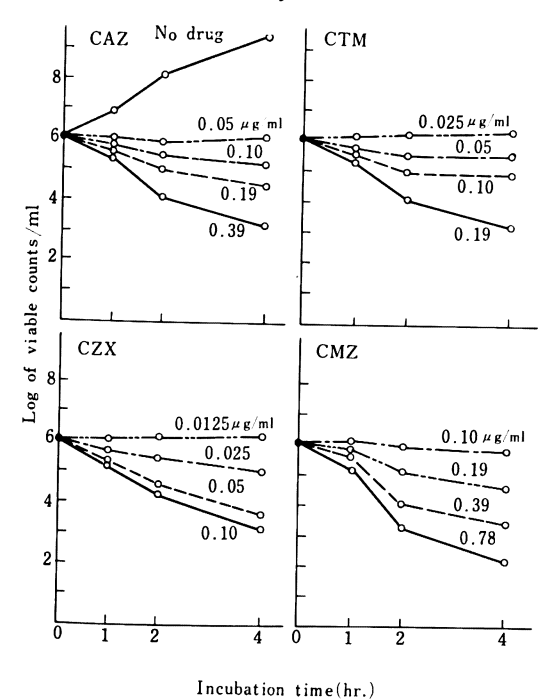


Fig. 32 Effect of CAZ, CTM, CZX and CMZ on the viability of K. pneumoniae KC-1

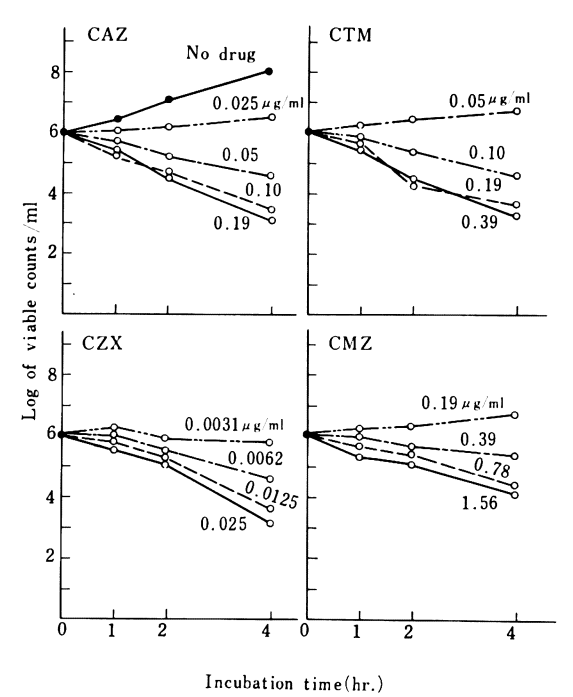


Fig. 33 Effect of CAZ, CTM, CZX and CMZ on the viability of S. marcescens T-55

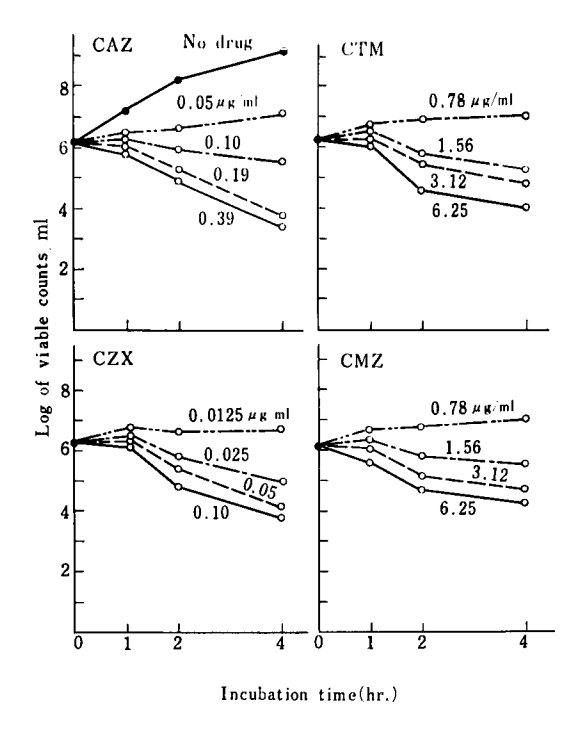


Fig. 34 Effect of CAZ, GM, CFS and CPZ on the viability of P. aeruginosa E-2

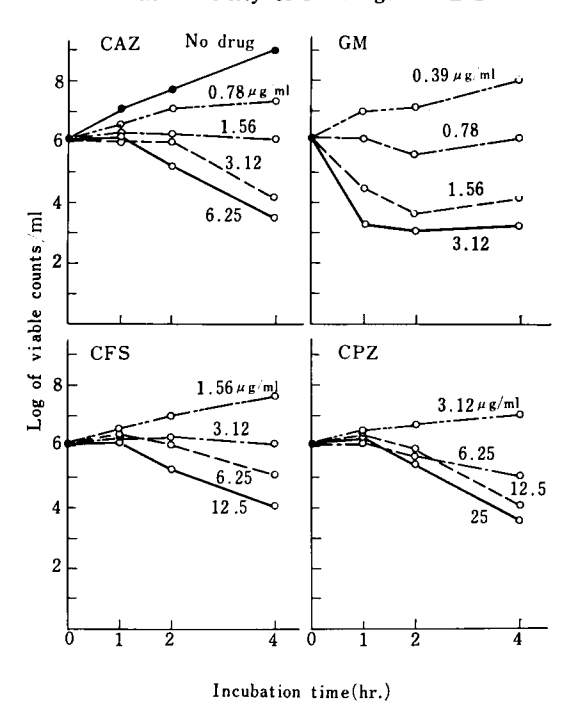


Fig. 33 に示すように CAZ は $0.19 \mu g/ml$, CTM は $1.56 \mu g/ml$, CZX は $0.025 \mu g/ml$, CMZ は $3.12 \mu g/ml$ 以上の濃度で殺菌作用が認められた。

(4) P. aeruginosa E-2 の場合

Fig. 34 に示すように CAZ は $3.12\mu g/ml$, GM は $1.56\mu g/ml$, CFS, CPZ は $6.25\mu g/ml$ 以上の濃度により殺菌作用が認められた。

5. 形態変化の観察およびペニシリン結合蛋白質に対 する親和性の検討

E. coli KC-14 および P. aeruginosa E-2 に CAZ を作用させたときの形態変化について、位相差顕微鏡により観察を行なった結果、データー(写真)には示していないが、いずれの歯種の場合も薬物作用後、伸長化し、スフェロプラスト様構造を示し、その後溶菌していく像が観察できた。また P. aeruginosa の方が E. coli よりもスフェロプラスト様構造ができやすいことが認められた。またこの薬物作用時の形態変化を裏付ける ため、 14 C-penicillin G を用いた競合による PBPs に対する親和性について検討した結果を Fig. 35, 36 に示した。E. coli

Fig. 35 Fluorography showing competition of CAZ for ¹⁴C-labeled penicillin G binding in E. coli K-12

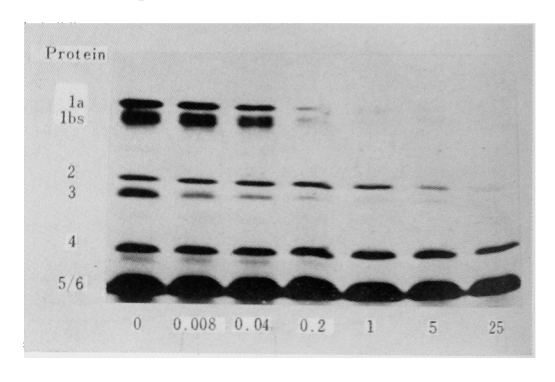
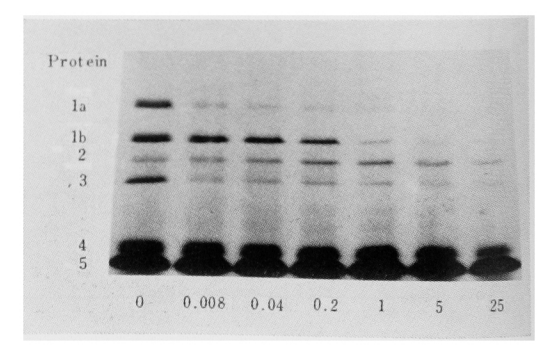
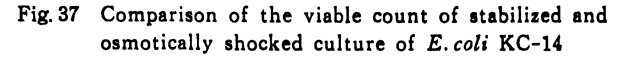


Fig. 36 Fluorography showing competition of CAZ for ¹⁴C-labeled penicillin G binding in *P. aeruginosa* E-2





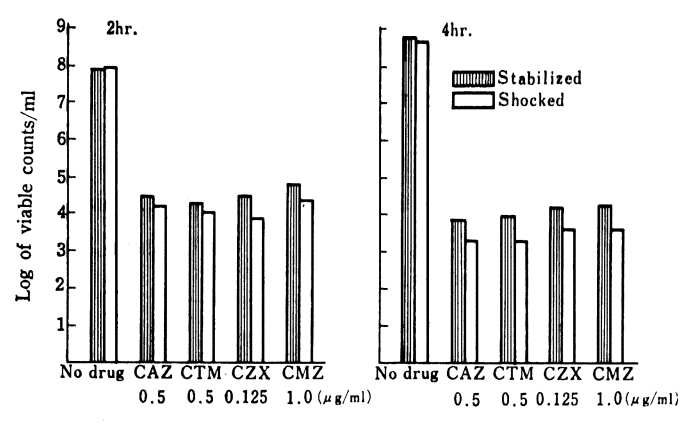
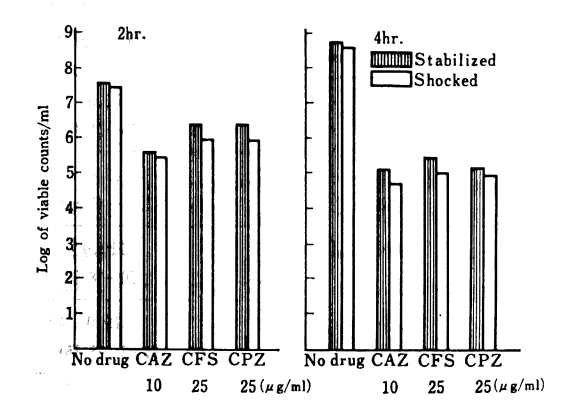


Fig. 38 Comparison of the viable count of stabilized and osmotically shocked culture of *P. aeruginosa* E-2



の場合、PBP 3, 1Bs, 1A に強い親和性を示し、 また P. aeruginosa の場合、 PBP 1A, 1B, 3 の順に親和 性を示し、形態変化と PBPs に対する親和性との間に良 く一致した関連性が認められた。

6. スフェロプラスト形成能の検討

位相差顕微鏡観察および PBPs に対する親和性の検討により、CAZ の作用によりスフェロブラスト様構造の形成が認められたので、これを定量化するために、stabilizer を用いて、スフェロブラスト形成能について検討を行なった。その結果を、Fig. 37、38 に示した。 E. coli および P. aeruginosa のいずれの場合も、薬物作用により、stabilized と shocked の間には有意な差は認められず、スフェロブラストの形成はかなり低頻度のものであると思われた。

7. マウス実験的腹腔内感染症に対する効果

(1) S. aureus 感染症に対する治療効果

Table 8 Protective effect of CAZ on experimental infection with S. aureus Smith in mice

A	Challenge	MIC(μg/ml)			
Antibiotic	(cells/mouse)	10**	10**	ED _{so} (mg/kg)	
CAZ		6.25	3.12	26.0 (13.0-52.0)**	
СТМ	1.5×10 ⁶	0.39	0.19	2.80 (1.17-6.70)	
CZX	(3,000LD _{so})	1.56	0.78	8.75 (3.01-20.4)	
CMZ		0.78	0.39	5.50 (2.70-11.3)	

^{*} Inoculum size: cells/ml

S.~aureus SMITH 感染症に対する治療効果を Table 8 に示した。CAZ の治療効果 (ED $_{50}$ 値) は 26.0mg/kg, CTM は 2.80mg/kg, CZX は 8.75mg/kg, CMZ は 5.50mg/kg であり,CAZ の治療効果は,他薬物に比べ約 3 \sim 10 倍劣っていた。

(2) E. coli 感染症に対する治療効果

 $E.\ coli$ KC-14 感染症に対する治療効果を Table 9 に示した。 CAZ の ED_{50} 値は $0.050\,\mathrm{mg/kg}$, CTM は $0.270\,\mathrm{mg/kg}$, CZX は $0.040\,\mathrm{mg/kg}$, CMZ は $0.925\,\mathrm{mg/kg}$ であり、CAZ は CZX とほぼ同等であり、CTM、CMZ より明らかに優れていた。

(3) K. pneumoniae 感染症に対する治療効果

K. pneumoniae KC-1 感染症に対する治療効果をTable 10 に示した。CAZ の ED₅₀ 値は 2.30 mg/kg, CTM は 32.0 mg/kg, CZX は 0.85 mg/kg, CMZ は 60.0 mg/kg はであり、CAZ は CZX に比べ約 2.5 倍劣る

^{** 95%} confidence limits

Table 9 Protective effect of CAZ on experimental infection with E. coli KC-14 in mice

	Challenge	MIC(μg/ml)		ED (/1)	
Antibiotic	(cells/mouse)	10**	10**	ED _{so} (mg/kg)	
CAZ		0.39	0.39	0.050 (0.020-0.123)**	
СТМ	3.0×10 ⁴	0.19	0.19	0.270 (0.120-0.590)	
CZX	(50LD ₅₀)	0.10	0.10	0.040 (0.014-0.120)	
CMZ		0.78	0.39	0.925 (0.595—1,435)	

^{*} Inoculum size: cells/ml

Table 10 Protective effect of CAZ on experimental infection with K. pneumoniae KC-1 in mice

Antibiotic	Challenge (cells/mouse)	MIC()	10 ⁶	ED ₅₀ (mg/kg)
CAZ		0.19	0.10	2.30 (1.35-3.95)**
СТМ	1.5×10³	0.39	0.19	32.0 (25.4-40.3)
CZX	(300LD ₅₀)	≦ 0.02	25 ≦0.025	0.85 (0.52-1.39)
CMZ		1.56	0.78	60.0 (46.5-77.4)

^{*} Inoculum size: cells/ml

が, CTM, CMZ よりは約 15~25 倍優れていた。

(4) S. marcescens 感染症に対する治療効果

S. marcescens T-55 感染症に対する治療効果を Table 11 に示した。 CAZ の ED₅₀ 値は 0.30 mg/kg, CTM は 26.0 mg/kg, CZX は 0.11 mg/kg, CMZ は 10.0 mg/kg であり, CAZ は CZX より約 3 倍劣るが, CTM, CMZ よりは明らかに優れていた。

(5) P. aeruginosa 感染症に対する治療効果

P. aeruginosa E-2 感染症に対する治療効果を Table 12 に示した。CAZ の ED₅₀ 値は 11.5 mg/kg, CFS は 25.0 mg/kg, CPZ は 110.0 mg/kg, GM は 19.0 mg/kg であり、CAZ は GM とほぼ同等かあるいは若干優れ、CFS、CPZ よりも優れていた。SBPC 耐性 P. aeruginosa TP-5 感染症に対する治療効果を Table 13 に示した。CAZ の ED₅₀ 値は 200 mg/kg と高い値を示した

Table 11 Protective effect of CAZ on experimental infection with S. marcescens T-55 in mice

	Challenge	$MIC(\mu g/ml)$		ED ((L)	
Antibiotic	(cells/mouse)	10**	10**	ED _{so} (mg/kg)	
		0.39		0.30	
CAZ			0.19	(0.192-0.469)**	
		>100		26.0	
CTM	1.6×10°		1.56	(16.6-47.0)	
	(50LD ₅₀)	0.19		0.11	
CZX			0.19	(0.069-0.175)	
		6.25		10.0	
CMZ			3.12	(5.07-19.7)	

^{*} Inoculum size : cells/ml

Table 12 Protective effect of CAZ on experimental infection with P. aeruginosa E-2 in mice

	Challenge	$MIC(\mu g/ml)$		ED (/L)	
Antibiotic	(cells/mouse)	10**	10 ⁶	ED _{so} (mg/kg)	
CAZ		3.12		11.5	
CAZ			1.56	6.15-21.48)**	
arc		3.12		25.0	
CFS	1.0×10³		1.56	(13.05-47.85)	
ap7	(100LD _{so})	6.25		110.0	
CPZ			3.12	(63.80—18.95)	
CM		0.78		19.0	
GM			0.39	(14.05-25.75)	

Inoculum size : cells/ml

が、CFS、CPZ、SBPC が無効な株に対しても有効であった。また GM 耐性 P. aeruginosa K-31 感染症に対する治療効果を Table 14 に示した。CAZ の ED50 値は 32.0 mg/kg、CFS は 45.0 mg/kg であり、CAZ は CFS に比べ若干優れており、CPZ、GM より明らかに優れ、GM 耐性株感染症に対しても有効であった。

III. 総括および考察

英国グラクソ社で開発された新しい aminothiazolyl cephalosporin の Ceftazidime (CAZ) に関する細菌学的評価を既知物質 Cefotiam (CTM), Ceftizoxime (CZX), Cefmetazole (CMZ), Cefsulodin (CFS), Cefoperazone (CPZ) および Gentamicin (GM) を比較薬物として検討を行なった。その結果, CAZ は CTM, CZX, CMZと同様, グラム陽性菌および陰性菌群に対して幅広い抗菌スペクトラムを有していたが, グラム陽性菌群に対す

^{** 95%} confidence limits

^{** 95%} confidence limits

^{** 95%} confidence limits

^{** 95%} confidence limits

Table 13	Protective	effect	of CAZ or	ı experim	ental
	infection w	ith $oldsymbol{P}_{i}$	aeruginosa	TP-5 in	mice

Antibiotic	Challenge	MIC(µg/ml)		FD (/1)
	(cells/mouse)	10**	106*	ED _{so} (mg/kg)
CAZ	S	3.12		200
			1.56	(97.5-410)**
CFS		100		> 000
	,		25	>800
CPZ	5.0×10 ⁵	400		> 000
	(80LDso)		25	>800
SBPC		>400		> 000
			>400	>800
GM		0.78		9.0
			0.78	(7.65-10.6)

^{*} Inoculum size: cells/ml

る抗菌力は CTM, CZX, CMZ よりも劣っていた。しか し、グラム陰性菌群に対しては、CZX より若干劣るが、 CTM とほぼ同等かあるいは優れ、CMZ よりは明らか に優れていた。また indole 陽性 Proteus spp., Serratia, P. aeruginosa および他のブドウ糖非発酵菌に対し ても強い抗菌力を有していた。臨床分離株の S. aureus, S. pyogenes, E. coli, K. pneumoniae, Enterobacter spp., Proteus spp., S. marcescens, H. influenzae, A. calcoaceticus および P. aeruginosa に対する感受性分 布について検討した結果, S. aureus については, CTM, CZX, CMZ よりも抗菌力は劣っており、S. pyogenes で は、CTM、CZX より劣り、CMZ よりは優れていた。 一方 E. coli, K. pneumoniae, Enterobacter spp., Proteus spp., S. marcescens, H. influenzae および A. calcoaceticus では、CAZ の抗菌力は CZX に比べて劣 っているか,あるいはほぼ同等であり、CTM、CMZ よ りは優れていた。 P. aeruginosa では GM とほぼ同等 であり、CFS、CPZ より優れていた。また GM 耐性お よび Sulbenicillin (SBPC) 耐性の P. aeruginosa に対 しても強い感受性を示し、 β -lactamase 産生株にも有効 であることが判った。抗菌力に及ぼす諸因子の影響で It, S. aureus, E. coli, K. pneumoniae, S. marcescens および P. aeruginosa の い ずれの菌種を用いた場合も 培地 pH, 馬血清添加の影響では、CTM, CZX, CMZ とほぼ同様な傾向であった。しかし接種菌量による影響 では、CTM, CZX, CMZ が影響を受け易いのに対して、 CAZ はほとんど影響されないことが判った。抗菌作 用型式では、 E. coli, K. pneumoniae, S. marcescens

Table 14 Protective effect of CA% on experimental infection with P. aeruginosa K-31 in mice

Antibiotic	Challenge (cells/mouse)	MIC(μg/ml)		FD (4)
		10**	10**	ED ₅₀ (mg/kg)
CAZ		12.5		32.0
			1.56	(24.0-46.7)*
CFS		12.5		45.0
	6.5×10³		3.12	(27.3 - 74.2)
CPZ	(50LD ₅₀)	50		400.0
			12.5	(197.5-810.5)
GM		50		> 000
			12.5	>200

^{*} Inoculum size : cells/ml

および P. aeruginosa について検討したが、いずれの 薬物も最小発育阻止濃度以上の作用により、殺菌的作用 を認めることができた。形態変化の観察では、E. coli, P. aeruginosa がともに CAZ の作用により伸長化し、 スフェロプラスト様構造を示し、その後溶菌することが 認められたが、スフェロプラスト形成の定量結果からは あまり高率に生じるものではないことが認められた。ま たペニシリン結合蛋白質 (PBPs) に対する親和性を検討 した結果, E. coli では PBP 3, 1Bs, 1A, P. aeruginosa では PBP 1A, 1B, 3 の順に親和性を示すことが認めら れ、形態変化と PBPs に対する親和性との間に、良く一 致した関連性が認められた。マウス実験的感染症に対す る治療効果では、S. aureus を用いた場合、CTM、CZX、 CMZ よりも CAZ の効果は劣っていた。 E. coli では CAZ は CZX とほぼ同等であり、CTM、CMZ より優 れていた。 K. pneumoniae, S. marcescens では CZX より劣っていたが、CTM、CMZ よりも優れていた。 P. aenuginosa では GM とほぼ同等かあるいは若干優 れ, CFS, CPZ よりも優れていた。 また GM 耐性, SBPC 耐性 P. aeruginosa 感染症に対しても有効であ った。

以上のように in vitro および in vivo の検討結果から、CAZ はグラム陽性菌に対する抗菌力は弱いが、グラム陰性菌に対しては、CZX に比べほぼ同等もしくは劣るが、CTM、CMZ よりも優れており、P. aeruginosaに対しては、GM に匹敵する抗菌力を有しており、これらの感染症に対する臨床効果が期待できるものと考えられる。

文 献

 VERBIST, L. & J. VERHAEGEN: GR20263, a new aminothiazolyl cephalosporin with high acti-

^{** 95%} confidence limits

^{** 95%} confidence limits

- vity against Pseudomonas and Enterobacteriaceae. Antimicrob. Agents & Chemother. 17 (5): 807~812, 1980
- O'CALLAGHAN, C. H.; P. ACRED, P. B. HARPER, D. M. RYAN, S. M. KIRBY & S. M. HARDING: GR 20263, a new broad-spectrum cephalosporin with antipseudomonal activity. Antimicrob. Agents & Chemother. 17 (5): 876~883, 1980
- 3) WISE, R.; J. M. ANDREWS & K. A. BEDFORD: Comparison of in vitro activity of GR20263, a novel cephalosprin derivative, with activities of other beta-lactam compounds. Antimicrob. Agents & Chemother. 17 (5): 884~889, 1980
- HAMILTON-MILLER, J. M. T. & W. BRUMFITT: Activity of ceftazidime (GR20263) against nosocomially important pathogens. Antimicrob. Agents & Chemother. 19 (6): 1067~1069, 1981
- 5) LIVERMORE, D. M.; R. J. WILLIAMS & J. D. WILLIAMS: Comparison of the β-lactamase stability and the in-vitro activity of cefoperazone, cefotaxime, cefsulodin, ceftazidime, moxalactam and ceftriaxone against Pseudomonas aeruginosa. J. Antimicrob. Chemother. 8 (4): 323~331, 1981
- 6) PEDLER, S. J.: The activity in vitro of ceftazidime (GR20263) and moxalactam (LY 127935) against gram-negative bacteria from hospital patients. J. Antimicrob. Chemother. 8 (5): 417~420, 1981

- HARPER, P. B. & S. M. KIRBY: The in vitro properties of GR20263—A highly active broadspectrum cephalosporin with anti-pseudomonal activity. Drugs Exptl. Clin. Res. 7 (3): 179~187, 1981
- 8) VERBIST, L. & J. VERHAEGEN; GR-20263: a new cephalosporin highly active against Pseudomonas and Enterobacteriaceae. Drugs Exptl. Clin. Res. 7 (3): 201~207, 1981
- 9) ACRED, P.; S. M. HARDING & D. M. RYAN: The in vivo properties of GR20263 (ceftazidime)—A highly active broad spectrum cephalosporin with antipseudomonal activity. Future Trends in Chemotherapy 4:51~61, 1981
- 10) CLARKE, A. M. & S. J. V. ZEMCOV: Ro 13-9904 and GR 20263, two new cephalosporins with broad-spectrum activity: an in vitro comparison with other β-lactam antibiotics. J. Antimicrob. Chemother. 8 (7): 515~520, 1981.
- GOZZARD, D. I., A. M. GEDDES, I. D. FARRELL, S. J. EYKYN, I. PHILLIPS, R. WISE & R. M. BROWN: Ceftazidime-a new extended-spectrum cephalosporin. Lancet 1 (8282): 1152~1156, 1982.
- 12) 日本化学療法学会: 最小発育阻止濃度 (MIC) 測定法再改訂について. Chemotherapy. 29 (1): 76~79, 1981.
- 13) SPRATT, B. G.: Distinct penicillin binding proteins involved in the division, elongation and shape of *Escherichia coli* K-12. Proc. Natl. Acad. Sci., U. S. A. 72: 2999~3003, 1975.

BACTERIOLOGICAL EVALUATION OF CEFTAZIDIME

TAKESHI NISHINO, YOSHIKI OBANA, KAZUMASA HIRATA, YOSHIHIRO YAMAMURA, MASAKO OHTSUKI and TERUO TANINO Department of Microbiology, Kyoto College of Pharmacy

Bacteriological evaluation was attempted on ceftazidime (CAZ, SN 401), a new cephem antibiotic, with cefotiam (CTM), ceftizoxime (CZX). cefmetazole (CMZ), cefsulodin (CFS), cefoperazone (CPZ), and gentamicin (GM) as the control drugs. CAZ showed a broad antibacterial spectrum against gram-positive and gram-negative bacteria, but its antibacterial activity against gram-positive bacteria was inferior to that of CTM, CZX, and CMZ. Against gram-negative bacteria, however, the antibacterial activity of CAZ, although slightly inferior to that of CZX, was practically equivalent or superior to that of CTM and apparently superior to that of CMZ. Also CAZ was found to possess potent antibacterial activity against indole-positive *Proteus* spp., Serratia, and P. aeruginosa.

Studies were also conducted on the influence of various factors on antibacterial activity of CAZ, and it was recognized that the drug is hardly affected by pH of culture, addition of horse serum, or inoculum size. Studies on the mode of the antibacterial activity of CAZ revealed its marked bactericidal action against any one of the bacterial strains used. As a result of investigation on the affinity of CAZ to penicillin binding proteins (PBPs), it was observed that the affinity was in the order of PBP 3, 1Bs, and 1A in E. coli and PBP 1A, 1B, and 3 in P. aeruginosa, and these findings conformed well to the results of morphological changes under drug action.

As to the therapeutic effects in experimental intraperitoneal infections in mice, those of CAZ against S. aureus were inferior to those of CTM, CZX, and CMZ. On the other hand, CAZ was undoubtedly superior to CTM or CMZ and equivalent or slightly inferior to CZX against gram-nagative bacteria such as E. coli, Klebsiella, and Serratia. Against P. aeruginosa, CAZ was superior to GM, CFS, and CPZ and, furthermore, showed an excellent efficacy against GM-resistant strains as well.